

# Campos de cargas en movimiento

## 1.1 Potenciales retardados

Usando el gauge de Lorentz y las ecuaciones de Maxwell se llega a

$$\begin{aligned}\nabla^2 \mathbf{A} - \frac{1}{c^2} \frac{\partial^2 \mathbf{A}}{\partial t^2} &= -\frac{4\pi}{c} \mathbf{J} \\ \nabla^2 \phi - \frac{1}{c^2} \frac{\partial^2 \phi}{\partial t^2} &= -4\pi \rho\end{aligned}$$

con forma general

$$\nabla^2 \psi - \frac{1}{c^2} \frac{\partial^2 \psi}{\partial t^2} = -4\pi f(\mathbf{x}, t) \quad (1.1)$$

siendo  $f$  la que da la distribución de fuentes.

Resolveremos (1.1) con una función de Green. Hacemos Fourier respecto a la frecuencia, de manera que podamos remover el tiempo (además luego nos interesarán fuentes armónicas y por sobre todo cualquier perturbación puede descomponerse en Fourier).

Suponemos que podemos escribir

$$\begin{aligned}\psi(\mathbf{x}, t) &= \frac{1}{2\pi} \int_{-\infty}^{+\infty} \psi(\mathbf{x}, \omega) e^{-i\omega t} d\omega \\ f(\mathbf{x}, t) &= \frac{1}{2\pi} \int_{-\infty}^{+\infty} f(\mathbf{x}, \omega) e^{-i\omega t} d\omega\end{aligned}$$

siendo sus inversas

$$\psi(\mathbf{x}, \omega) = \int_{-\infty}^{+\infty} \psi(\mathbf{x}, t) e^{i\omega t} dt$$

$$f(\mathbf{x}, \omega) = \int_{-\infty}^{+\infty} f(\mathbf{x}, t) e^{i\omega t} dt$$

luego la ecuación resulta

$$\int_{-\infty}^{+\infty} \nabla^2 \psi(\mathbf{x}, \omega) e^{-i\omega t} d\omega + \int_{-\infty}^{+\infty} \frac{\omega^2}{c^2} \psi(\mathbf{x}, \omega) e^{-i\omega t} d\omega = -4\pi \int_{-\infty}^{+\infty} f(\mathbf{x}, \omega) e^{-i\omega t} d\omega$$

de manera que se satisface la ecuación de Helmholtz inhomogénea,

$$(\nabla^2 + k^2) \psi(\mathbf{x}, \omega) = -4\pi f(\mathbf{x}, \omega),$$

para cada valor de frecuencia  $\omega$ .

Una función de Green satisfecerá

$$(\nabla^2 + k^2) G(\mathbf{x}, \mathbf{x}') = -4\pi \delta(\mathbf{x} - \mathbf{x}'),$$

donde  $\mathbf{x} - \mathbf{x}' = \mathbf{R}$  y la función de Green será simétricamente esférica pues pedimos la no existencia de contornos, entonces llamando a aquella  $G_k(R)$  se tiene

$$\frac{1}{R} \frac{d^2}{dR^2} (RG_k) + k^2 G_k = -4\pi \delta(\mathbf{R})$$

donde hemos usado el laplaciano en esféricas. Debemos distinguir dos casos, si  $R = 0$  entonces la anterior resulta

$$\lim_{kR \rightarrow 0} G_k(R) = \frac{1}{R}$$

mientras que de ser cierto  $R \neq 0$  en cambio

$$\frac{d^2}{dR^2} (RG_k) + k^2 (RG_k) = 0$$

y entonces se propone como solución general

$$G_k(R) = \frac{A}{R} e^{ikR} + \frac{B}{R} e^{-ikR}$$

donde  $A, B$  dependerán de las condiciones de contorno y siendo que el primer término del RHS representa una onda divergente esférica y el segundo una onda convergente esférica.

Se puede interpretar  $G_k$  como el potencial de una carga unitaria que aparece en  $\mathbf{x} = \mathbf{x}'$  en el instante  $t = t'$  y luego desaparece (mmm, qué misterio!).

Ahora necesitamos meter la dependencia temporal,

$$\left( \nabla_x^2 - \frac{1}{c^2} \frac{\partial^2}{\partial t^2} \right) G^\pm(\mathbf{x}, \mathbf{x}', t, t') = -4\pi \delta(\mathbf{x} - \mathbf{x}') \delta(t - t')$$

$$-4\pi f(\mathbf{x}, \omega) = -4\pi \int_{-\infty}^{+\infty} f(\mathbf{x}, t) e^{i\omega t} dt = -4\pi \int_{-\infty}^{+\infty} \delta(\mathbf{x} - \mathbf{x}') \delta(t - t') e^{i\omega t} dt$$

$$-4\pi f(\mathbf{x}, \omega) = -4\pi \delta(\mathbf{x} - \mathbf{x}') e^{i\omega t'}$$

de modo que tenemos

$$f(\mathbf{x}, \omega) = \delta(\mathbf{x} - \mathbf{x}') e^{i\omega t'},$$

usando lo cual se llega a

$$G^\pm(R, \tau) = \frac{1}{2\pi} \int_{-\infty}^{+\infty} G_k(R) e^{-\omega \tau} d\omega$$

donde  $\tau$  es el tiempo relativo entre los tiempos de observación y fuente ( $t'$ ) y  $R$  es la distancia relativa entre observación y fuente.

En un medio no dispersivo es

$$G^\pm(R, \tau) = \frac{1}{R} \delta(\tau \mp \frac{R}{c})$$

y así llegamos a

$$G^+(\mathbf{x}, \mathbf{x}', t, t') = \frac{1}{|\mathbf{x} - \mathbf{x}'|} \delta(t - t' - \frac{1}{c}(\mathbf{x} - \mathbf{x}')) = \frac{\delta(t' - [t - (1/c)|\mathbf{x} - \mathbf{x}'|])}{|\mathbf{x} - \mathbf{x}'|},$$

la función de Green retardada

$$G^-(\mathbf{x}, \mathbf{x}', t, t') = \frac{1}{|\mathbf{x} - \mathbf{x}'|} \delta(t - t' + \frac{1}{c}(\mathbf{x} - \mathbf{x}')) = \frac{\delta(t' - [t + (1/c)|\mathbf{x} - \mathbf{x}'|])}{|\mathbf{x} - \mathbf{x}'|},$$

la función de Green avanzada.

$G^+$  exhibe el comportamiento causal del efecto observado en  $\mathbf{x}$  a  $t$  causado por la acción de la fuente en el tiempo  $(t - R/c)$  donde  $R/c$  es la diferencia de tiempo de la señal en propagarse. Al valor

$$t' = t - \frac{R}{c}$$

se lo llama el tiempo retardado. Es un poco más práctica la nomenclatura

$$G^+(R, t, t') = \frac{\delta(t' - [t - (R/c)])}{R} \quad G^-(R, t, t') = \frac{\delta(t' - [t + (R/c)])}{R},$$

Entonces una solución particular de (1) (¿uno qué?) es

$$\psi^\pm(\mathbf{x}, t) = \int \int G^\pm(\mathbf{x}, \mathbf{x}', t, t') f(\mathbf{x}', t') d^3x' dt'$$

y dos soluciones son

$$\psi_{in}(\mathbf{x}, t) + \int \int G^+ f dv' dt \quad \psi_s(\mathbf{x}, t) + \int \int G^- f dv' dt$$

con  $f(\mathbf{x}', t')$  una fuente que es diferente de cero solo en un intervalo  $\sim t'$ . Entonces  $\psi_{in}$  satisface (1) homogénea en  $t \rightarrow -\infty$ .  $\psi_s$  es la onda en  $t \rightarrow +\infty$  solución homogénea. La situación más común es el caso de  $\psi_{in}$  con  $\psi_{in} = 0$  entonces

$$\psi(\mathbf{x}, t) = \int_{-\infty}^{+\infty} \int_v' \frac{\delta(t' - [t - (R/c)])}{R} f(\mathbf{x}', t') dv' dt',$$

e integrando con la delta

$$\psi(\mathbf{x}, t) = \int_v' \frac{f(\mathbf{x}', t - (R/c))}{R} dv',$$

que es una fuente en una cierta región que se enciende un instante e irradia.

### 1.1.1 Fuente armónica

Sea una fuente armónica en el tiempo

$$\mathbf{J}(\mathbf{x}', t') = \mathbf{J}(\mathbf{x}') e^{-i\omega t'}$$

entonces el potencial vector es

$$\mathbf{A}(\mathbf{x}, t) = \frac{4\pi}{c} \int_v' \frac{\mathbf{J}(\mathbf{x}')}{|\mathbf{x} - \mathbf{x}'|} e^{-i\omega t'} \Big|_{t_{ret}} dv' = \frac{4\pi}{c} \int_v' \frac{\mathbf{J}(\mathbf{x}')}{|\mathbf{x} - \mathbf{x}'|} e^{-i\omega t} e^{i\omega R/c} \Big|_{t_{ret}} dv'$$

$$\mathbf{A}(\mathbf{x}, t) = \frac{4\pi}{c} e^{-i\omega t} \int_v \frac{\mathbf{J}(\mathbf{x})}{R} e^{i\omega R/c} dv$$

se puede ver como

$$\mathbf{A}(\mathbf{x}) e^{-i\omega t} = \frac{4\pi}{c} \int_v' \frac{\mathbf{J}(\mathbf{x}')}{|\mathbf{x} - \mathbf{x}'|} e^{ik|\mathbf{x} - \mathbf{x}'|} dv' e^{-i\omega t}$$

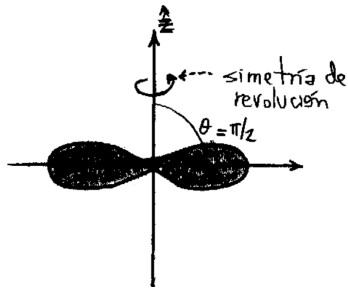


Figura 1.1

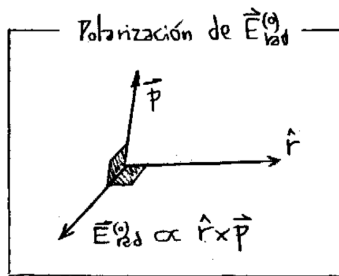


Figura 1.2

## 1.2 Ejemplo de antena

## 1.3 Campos de una partícula cargada en movimiento

## 1.4 Campo de una carga en movimiento

## 1.5 Cálculo de potencia irradiada

## 1.6 Frenado magnético

### 1.6.1 Esponja electromagnética

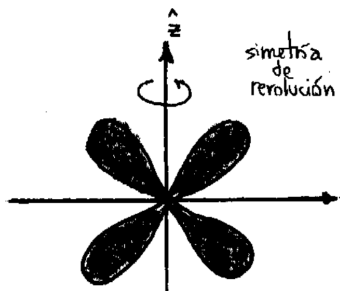


Figura 1.3

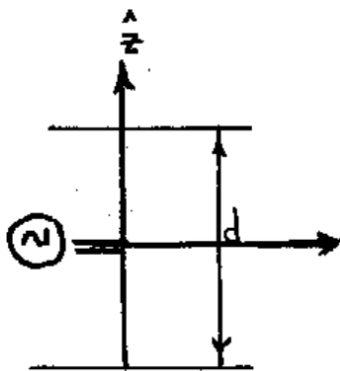


Figura 2.4

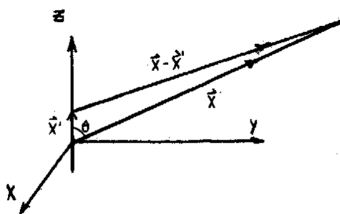


Figura 2.5



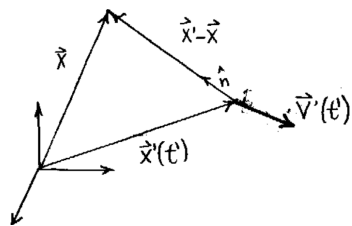


Figura 3.7

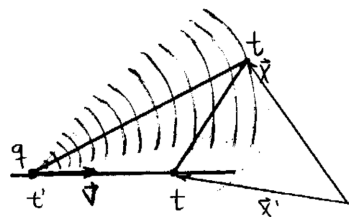


Figura 3.8

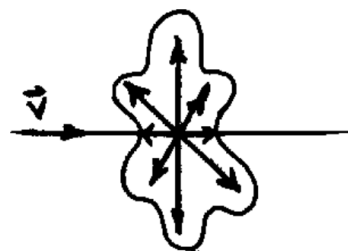


Figura 4.9

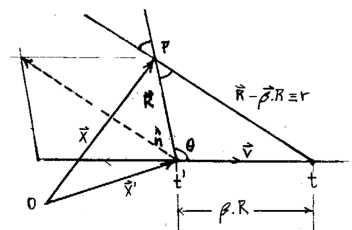


Figura 4.10



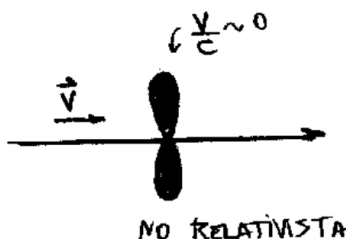


Figura 5.11

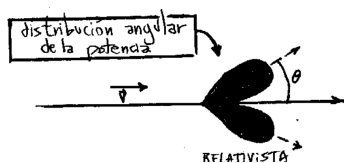


Figura 5.12

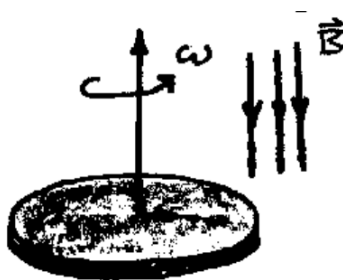


Figura 6.13

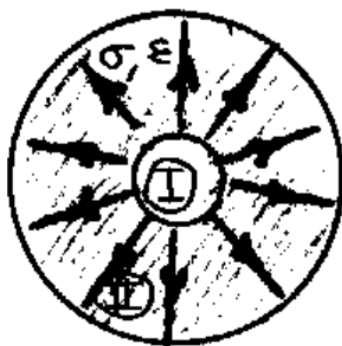


Figura 6.14